

01; 07; 12

© 1992

МЕТОД ОПРЕДЕЛЕНИЯ КОМПЛЕКСНЫХ ПОСТОЯННЫХ  
РАСПРОСТРАНЕНИЯ МОД ОПТИЧЕСКИХ ВОЛНОВОДОВВ.П. Р е д ь к о, А.А. Р о м а н е н к о,  
А.Б. С о т с к и й, А.В. Х о м ч е н к о

В настоящем сообщении предложен метод определения постоянных распространения мод оптических волноводов, основанный на измерении параметров распределения интенсивности пучка, отраженного от призменного элемента связи. Он позволяет определить одновременно действительную и мнимую части постоянной распространения с учетом поправок, связанных с влиянием призмы.

Пусть оптический волновод возбуждается ограниченным пучком (рис. 1). Отраженное от призменного устройства связи поле  $\Psi_t(x, y_2, z_2)$  представим в виде интеграла Фурье:

$$\Psi_t(x, y_2, z_2) = \iint_{-\infty}^{\infty} \hat{\Psi}(k_x, k_{y_0}) F(k_x, k_{y_0}) R(k_x, k_{y_0}) e^{if(x, y_2, z_2, k_x, k_{y_0})} \times \quad (1)$$

$$\times dk_x dk_{y_0},$$

где  $\hat{\Psi}(k_x, k_{y_0})$  - фурье-образ падающего пучка,  $F(k_x, k_{y_0})$  - множитель, учитывающий отражение поля от боковых граней призмы,  $R(k_x, k_{y_0})$  - коэффициент отражения плоских волн от основания призмы,  $f(x, y_2, z_2, k_x, k_{y_0})$  - действительная функция указанных аргументов,  $\Psi_t = E_x$  для ТЕ,  $\Psi_t = H_x$  для ТМ волн. После прохождения отраженного пучка через линзовую систему, в ее фокальной плоскости при  $x=0$  формируется распределение интенсивности [1]

$$I(y) = C |\hat{\Psi}(0, \alpha y)|^2 |R(0, \alpha y)|^2, \quad (2)$$

где  $\alpha, C$  - постоянные,  $x, y$  - координаты, отсчитанные от оси пучка. При получении (2) сделано предположение, что пучок имеет достаточно узкий спектр, в пределах ширины которого функция  $F(k_x, k_{y_0})$  практически постоянна.

Для решения задачи по определению постоянных распространения мод с использованием наблюдаемого распределения  $I(y)$ , воспользуемся аналитическим выражением для  $|R(0, \alpha y)|^2$ , найденным в [2] в приближении слабой связи призмы с волноводом. Переходя к переменной  $k_z$ , равной  $z$ -составляющей волнового вектора в системе координат  $(x, y_p, z_p)$ , получаем

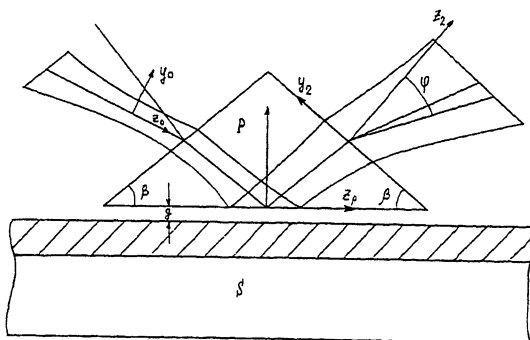


Рис. 1. Призменный элемент связи и системы координат.

$$|R|^2 = 1 - \frac{P}{A^2 + B^2}, \quad (3)$$

$$A = \frac{k_z - h'}{|Ah|} + \frac{1 - \delta^2}{1 + \delta^2}, \quad P = \frac{8\delta}{1 + \delta^2} \cdot \frac{h''}{|Ah|},$$

$$B = -S - \frac{\rho}{4S}, \quad S = \frac{2\delta}{1 + \delta^2}, \quad \delta = \sqrt{[(h')^2 - k_g^2] \cdot [k_p^2 - (h')^2]^{-1}} \cdot (k_p^2 \cdot k_g^2)^T, \quad (4), (5)$$

$k_p$ ,  $k_g$  – волновые числа призмы и буферного слоя,  $T=0$  соответствует TE,  $T=1$  – TM волнам,  $Ah = \bar{h} - h$ ,  $\bar{h}$  – постоянная распространения вытекающей моды системы волновод-призма,  $h = h' - ih''$  – постоянная распространения моды волновода без призмы. Из (3-5) следует, что при  $P \rightarrow 0$  (отсутствие потерь в волноводе) и при  $P \rightarrow \infty$  (пренебрежимо слабая связь призмы с волноводом),  $|R|^2 \rightarrow 1$  для всех  $A$ . В промежутке  $0 < P < \infty$   $|R|^2$  принимает минимальное значение при  $A=0$ , которое является нулевым при  $P=4S^2$ .

Для анализа выражения (2) удобно перейти к переменной  $\varphi$ , имеющей смысл угла, отсчитанного от нормали к выходной грани призмы, связанной с  $k_z$  соотношением

$$k_z = -k_0 \sin \varphi \cos \beta + \sqrt{k_p^2 - k_0^2 \sin^2 \varphi} \sin \beta, \quad (6)$$

где  $k_0 = \frac{2\pi}{\lambda_0}$  – волновое число вакуума. В окрестности  $\varphi_1$ , определяемого из уравнения  $A(\varphi_1) = 0$ , с точностью до квадратичных членов получаем

$$A = \left. \frac{\partial A}{\partial \varphi} \right|_{\varphi_1} \Delta \varphi = -\frac{k_0}{|Ah|} \cos \varphi_1 \left[ \cos \beta + \frac{k_0 \sin \varphi_1 \sin \beta}{\sqrt{k_p^2 - k_0^2 \sin^2 \varphi_1}} \right] \Delta \varphi, \quad (7)$$

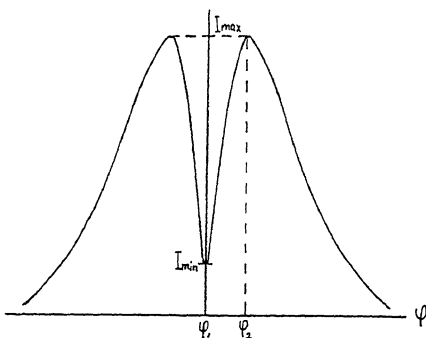


Рис. 2. Распределение интенсивности фурье-образа отраженного поля.

где  $d\varphi = \varphi - \varphi_1$ . Предположим, что мода возбуждается гауссовым пучком, для которого

$$|\hat{\psi}(0, k_{yo}(\varphi))|^2 = \hat{\psi}_o^2 \exp \left\{ - \left[ \frac{\varphi - \varphi_1}{W} \right]^2 \right\}. \quad (8)$$

Распределение (2) для переменной  $\varphi$  имеет вид, схематически изображенный на рис. 2. Анализ формул (3-8) показывает, что разность угловых координат максимума и минимума этого распределения  $\Delta\varphi_m = \varphi_2 - \varphi_1$  определяется потерями в волноводе, а величина  $\gamma = \frac{I_{min}}{I_{max}}$  — степенью связи призмы с волноводом. Учтем данные обстоятельства для решения задачи по нахождению  $\gamma = h' - ih''$  с использованием экспериментально определяемых величин  $\gamma = \frac{I_{min}}{I_{max}} \varphi_1, \varphi_2, W$ . Рассмотрим функцию

$$I(A^2) = I_o \exp \left\{ - \left[ A \left( \frac{\partial A}{\partial \varphi} \Big|_{\varphi_1} \cdot W \right)^{-1} \right]^2 \right\} \cdot \left[ 1 - \frac{\rho}{A^2 + \beta^2} \right]. \quad (9)$$

Из условия  $\frac{\partial I}{\partial A^2} = 0$  определяем координату максимума функции

$$A_m^2 = \frac{\rho}{2} (1 + \beta) - \beta^2 + \sqrt{\left[ \frac{\rho}{2} (1 + \beta) \right]^2 - \rho \beta^2 \gamma}, \quad (10)$$

где  $\beta = \left( \frac{W}{\Delta\varphi_m} \right)^2$ . Подставляя (10) в (9) и решая уравнение  $\frac{I_{min}}{I_{max}} = \gamma$ , находим

	$\gamma$ (В см $^{-1}$ )	$\delta\gamma$ (дВ см $^{-1}$ )	$\gamma^*$ (дВ см $^{-1}$ )	$\delta\gamma^*$ (дВ см $^{-1}$ )
Тонкопленочный волновод	12.3	0.3	12.2	0.5
Эффузионный волновод	1.8	0.1	2.0	0.2

$$\rho = \frac{4S^2}{\mu^2} \left[ \mu^2 + 2\mu - \frac{2}{\delta} (\mu+1) \pm 2 \sqrt{(\mu+1)(\mu - \frac{1}{\delta})(\mu - \frac{\mu+1}{\delta})} \right], \quad (11)$$

где  $\mu = e^{\frac{1}{\delta}} \gamma^{-1}$ . Знак перед квадратным корнем в (11) выбирается в зависимости от степени связи призмы с волноводом: "+" имеет место, когда величина зазора  $g$  (рис. 1) больше требуемой для достижения максимального контраста, "-" – в противном случае. Из (7), (10) и (11) находим

$$|\Delta h| = \left| k_0 \left( \frac{\partial A}{\partial \varphi} \Big|_{\varphi_1} \right)^{-1} \cos \varphi_1 \left[ \cos \beta + \frac{k_0 \sin \varphi_1 \sin \beta}{\sqrt{k_p^2 - k_0^2 \sin^2 \varphi_1}} \right] \right|, \quad (12)$$

где  $\frac{\partial A}{\partial \varphi} \Big|_{\varphi_1} = \frac{A_m}{\Delta \varphi_m}$ . Величина  $h'$  может быть определена из условия  $A(\varphi_1) = 0$ . Из (4) и (6) получаем

$$h' = k_p \sin \left( \beta - \arcsin \frac{k_0 \sin \varphi_1}{k_p} \right) - |\Delta h| \frac{\delta^2 - 1}{\delta^2 + 1}. \quad (13)$$

Заметим, что величина  $h'$  входит в выражение для  $\delta$ . Поэтому в общем случае вычисления  $|\Delta h|$ ,  $h'$  могут быть выполнены методом итераций. В качестве нулевого приближения может быть выбрана величина  $h'_0$ , определенная из (13), где отсутствует слагаемое, учитывающее влияние призмы. Однако для волноводов оптического диапазона, которые в большинстве случаев являются слабонеоднородными, в выражении для  $\delta$  величину  $h'$  можно с высокой точностью заменить на  $Re k_s$  ( $k_s$  – волновое число подложки). В этом случае величины  $|\Delta h|$ ,  $h'$  находятся из (10)–(13) прямым просчетом. Определив  $\rho$ ,  $|\Delta h|$ ,  $h'$  из (5) находим

$$h'' = \rho |\Delta h| \frac{\delta^2 + 1}{2\delta}.$$

Принципиальные ограничения на точность предлагаемого метода накладывает приближенный характер выражения (3). Для выяснения этих ограничений нами выполнен численный эксперимент. В нем использованы результаты расчета распределения  $I(\varphi)$  с точно вычисленным коэффициентом отражения. Вычисления проведены для волноводов с неоднородным гауссовым и ступенчатым распределениями

показателя преломления. Величины  $\frac{h'}{k_0}$  находились в диапазоне  $(1.45-1.47)$ ,  $\frac{h''}{k_0}$  - в диапазоне  $(1.2 \cdot 10^{-5} - 1.5 \cdot 10^{-4})$ . Параметры призмы составляли  $n_p = 1.94$ ,  $\beta = 60^\circ$ . При этом получено, что абсолютная погрешность величины  $\frac{h'}{k_0}$  меньше  $1 \cdot 10^{-7}$ , а относительная погрешность величины  $\frac{h''}{k_0}$  - меньше  $1 \cdot 10^{-2}$ .

Приемлемость метода подтверждена экспериментально. Регистрация распределения интенсивности в сечении  $x=0$  отраженного пучка осуществлена с помощью линейки фотоприемников, расположенной в фокальной плоскости линзовой системы.

В таблице приведены значения коэффициентов затухания  $\gamma$  ( $\lambda = 20 L h' l g e$ ,  $L = 1$  см) для тонкопленочного кварцевого ( $n_s = 1.45710$ ,  $\lambda_o = 0.6328$ ) и эфузионного (в стекле ЛК6  $n_s = 1.46899$ ) волноводов, определенные предлагаемым методом. Величины  $\gamma^*$  получены методом фотометрирования трека посредством сканирования волокна вдоль волновода [3]. Абсолютные погрешности  $\gamma$  и  $\gamma^*$  обозначены через  $\delta_\gamma$ ,  $\delta_{\gamma^*}$ . Для иллюстрации возможностей метода измерения проведены для волноводов с заведомо высокими и низкими потерями и различным профилем показателя преломления. Максимальное приращение показателя преломления  $\Delta n$  составляло 0.02, использовалась призма с параметрами  $n_p = 1.74470$ ,  $\beta = 60.6094^\circ$ . Приведенные данные свидетельствуют об удовлетворительном соответствии результатов предлагаемого и известного методов. Указанная экспериментальная погрешность определения  $\gamma$  обусловлена приборной ошибкой измерения параметров  $\Delta \Psi_m$  и  $\gamma$ . Корректность учета влияния призмы подтверждается тем, что определенные на основании (13) величины  $\frac{h'}{k_0}$  оставались неизменными (с точностью  $1 \cdot 10^{-6}$ ) при различных прижимах призмы к волноводу.

#### Список литературы

- [1] Ключников А.С. Теория волновых процессов. Минск: Изд. БГУ. 1977. 175 с.
- [2] Романенко А.А., Сотский А.Б., Хомченко А.В. // Препринт ИФАНБ. 1991. № 649. С. 31.
- [3] Nougaro N. // Electr. Lett. 1985. V. 21. N 18. P. 818-820.